



مجله علوم و صنایع غذایی ایران

سایت مجله: www.fsct.modares.ac.ir

مقاله علمی_پژوهشی

طراحی و ساخت سیستم فرآوری آب‌لیمو توسط میدان الکتریکی پالسی و ارزیابی ویژگی‌های کیفی آن

عادل دزیانی^۱، امان محمد ضیایی فر^{۲*}، سید مهدی جعفری^۳، سارا آقاجان زاده^۴

۱- دانشجوی دکتری، گروه مهندسی مواد و طراحی صنایع غذایی، دانشگاه علوم کشاورزی و منابع طبیعی گرگان، گرگان، ایران.

۲- دکتری، دانشیار، گروه مهندسی مواد و طراحی صنایع غذایی، دانشگاه علوم کشاورزی و منابع طبیعی گرگان، گرگان، ایران.

۳- دکتری، استاد، گروه مهندسی مواد و طراحی صنایع غذایی، دانشگاه علوم کشاورزی و منابع طبیعی گرگان، گرگان، ایران.

۴- دکتری، دکتری مهندسی مواد و طراحی صنایع غذایی، دانشگاه علوم کشاورزی و منابع طبیعی گرگان، گرگان، ایران.

چکیده

اطلاعات مقاله

تاریخ های مقاله :

تاریخ دریافت: ۱۴۰۰/۰۷/۲۷

تاریخ پذیرش: ۱۴۰۰/۰۹/۱۵

آب‌لیمو فرآورده غیر تخمیری با اسیدیته بالا و منبع غنی از اسید آسکوربیک و ترکیبات فنلی می‌باشد که از فعالیت رادیکال‌های آزاد در بدن جلوگیری می‌کند. امروزه به منظور حفظ کیفیت محصول از روش‌های نوین غیرحرارتی جهت فرآوری ماده غذایی استفاده می‌شود. هدف از این پژوهش طراحی و ساخت سیستم مداوم میدان الکتریکی پالسی (PEF) و تأثیر آن بر میزان تخریب آنزیم پکتین متیل استراز و محتوای اسید آسکوربیک و ترکیبات فنلی، اندیس ابری شدن و قهقهه‌ای شدن و خصوصیات حسی در آب‌لیمو می‌باشد. در این پژوهش موج مربعی شکل دوقطبی به عرض ۱۰ میکروثانیه و فرکانس ثابت ۱۰۰۰ هرتز مورد استفاده قرار گرفت. در محفظه فرآوری این دستگاه از دو الکترود از جنس استیل ضدزنگ به طول و ضخامت به ترتیب ۱۰۰ و ۰/۵ میلی‌متر استفاده شد. آب‌لیمو در مدت ۵۰۰، ۵۷۱، ۶۶۶، ۸۰۰ و ۱۰۰۰ میکروثانیه تحت فرآیند PEF با شدت میدان الکتریکی پالسی ۴۴/۴۴، ۳۳/۳۳، ۲۲/۲۲ و ۵۵/۵۵ کیلوولت بر سانتی‌متر قرار گرفت. به طور کلی با افزایش میدان از ۲۲/۲۲ به ۵۵/۵۵ کیلوولت بر سانتی‌متر در یک‌زمان ثابت فرآوری میزان تخریب آنزیم PME به طور میانگین ۲۵ درصد افزایش یافت. اعمال بالاترین شدت میدان الکتریکی پالسی ۵۵/۵۵ کیلوولت بر سانتی‌متر در مدت زمان ۱۰۰۰ میکروثانیه موجب تخریب ۱۴ درصدی اسید آسکوربیک در مقایسه با نمونه تازه شد. با افزایش میدان الکتریکی پالسی میزان کدورت نمونه و اندیس قهقهه‌ای شدن افزایش یافت. استفاده از میدان الکتریکی پالسی با شدت بالا موجب افزایش میزان تخریب آنزیم PME و حفظ کدورت در محصول فرآوری شده در مقایسه با نمونه تازه شد. حفظ خصوصیات حسی آب‌لیمو فرآوری شده با PEF در مدت زمان نگهداری نشان داد که استفاده از روش غیرحرارتی میدان الکتریکی پالسی می‌تواند به عنوان یک رویکرد امیدوارکننده در فرآوری محصولات غذایی باشد.

کلمات کلیدی:

آب‌لیمو،

میدان الکتریکی پالسی،

آنزیم PME،

آسکوربیک اسید،

کدورت.

DOI: 10.22034/FSCT.19.132.33

DOR: 20.1001.1.20088787.1401.19.132.3.6

* مسئول مکاتبات:

ziaifar@gmail.com

۱ - مقدمه

فن آوری میدان الکتریکی پالسی را می توان به عنوان جایگزینی بالقوه برای فرآیند حرارتی سنتی غذاها در نظر گرفت. فناوری PEF در مقایسه با فرایندهای حرارتی به عنوان یک مزیت ارائه شده است، زیرا با حفظ بهتر رنگ، عطر و طعم، بافت و ارزش غذایی محصول حفظ و آنزیم های مضر را از بین می برد. حساسیت آنزیم ها به فرآیند PEF به ویژگی های سلول مانند pH ساختار و اندازه بستگی دارد. علاوه بر این، عواملی مانند pH محصول ، فعالیت آبی (a_w) ، مواد جامد محلول و هدایت الکتریکی بر میزان تخریب آنزیم ها را تأثیرگذار است [۳].

فن آوری PEF شامل استفاده از پالس های ولتاژ بالا به غذاهای مایع یا نیمه جامد است که بین دو الکترود قرار می گیرد و بهموجب آن میدان الکتریکی باشد زیاد بین دو الکترود تولید می شود، شار زیادی از جریان الکتریکی ایجاد می شود که از ماده غذایی بدون تغییر قابل توجه در مواد مغذی و خواص حسی غذا عبور می کند. در فرآیند میدان الکتریکی پالسی پاسوریزاسیون مواد غذایی طی میکروثانیه انجام می شود. کاربردهای PEF در فرآوری مواد غذایی معمولاً به دو دسته عمده غیرفعال سازی میکروبی و آنزیمی جهت افزایش ماندگاری مواد غذایی مایع و بهبود انتقال جرم و بافت در مواد جامد و مایع در نظر گرفته می شود. به طور کلی اثرات غیرفعال سازی الکتروپوراسیون غشای سلول و اندامکها بستگی دارد [۴]. اعمال انرژی با استفاده از میدان الکتریکی و ایجاد روزنه در غشای سلول، حفره زایی الکتریکی الکتروپوراسیون^۳ می گویند. نفوذ پذیری غشای سلولی شامل دو مرحله می باشد. در ابتدا میدان الکتریکی اعمال شده باید تشکیل منفذ را القا کند و ثانیاً، منفذ باید به اندازه کافی پایدار باشد. به طور معمول، غذا بین دو الکترود و در معرض یک میدان الکتریکی به صورت پالس های بسیار کوتاه (چند میکروثانیه) و ولتاژ بالا (کیلوولت) قرار می گیرد. یک الکترود به یک کلید ولتاژ بالا و دیگری به زمین متصل است. قدرت میدان الکتریکی (E) تولید شده بین جفت الکترودها را می توان با تقسیم ولتاژ اعمال شده U بر فاصله بین الکترودهای d (یعنی $E = U/d$) تخمین زد. قدرت میدان الکتریکی، درجه حرارت تیمار، زمان و انرژی ویژه ورودی اصلی ترین پارامترهای

میوه لیمو یکی از مرکبات مهم از بعد اقتصادی در ایران می باشد که امروزه در تمام دنیا مصرف می گردد. در میوه لیمو ترکیبات بیواکتیو مهمی وجود دارد. مهم ترین این ترکیبات، اسید آسکوربیک، فلاونوئید ها، لیمونوئید و انواع فیتواسترول ها می باشد. از ترکیبات فلاونوئیدی مهم در لیمو روتنین می باشد که از فعالیت های رادیکال های آزاد در بدن جلوگیری می کند و همچنین دارای خواص ضدالتهاب، ضد حساسیت و ضد میکروبی می باشد. آب لیمو^۱ فرآورده غیرتخمیری است که با روش های مکانیکی از آندوکارپ میوه تازه، رسیده و سالم لیموترش به دست می آید. اسیدیته آب لیمو ۵/۵ (اسیدسیتریک) و pH=۲/۸-۲/۳ می باشد. آب لیمو به عنوان طعم دهنده در غذاها و همچنین در تهیه انواع نوشابه های گازدار استفاده می گردد. در بسیاری از مناطق دنیا از آب لیمو در درمان بسیاری از بیماری ها استفاده می گردد. آب لیمو منبع غنی از ویتامین ث یا اسید آسکوربیک می باشد که در حدود ۱۰/۵ میلی گرم در هر ۱۰۰ گرم تخمین زده شده است [۱].

افزایش زمان ماندگاری مواد غذایی به طور سنتی با فرآوری حرارتی به تنهایی یا تؤام با روش های نگهداری شیمیایی و بیوشیمیایی امکان پذیر شده است. با این وجود فرآوری حرارتی تا حدودی کیفیت محصول و تازگی آن را کاهش می دهد؛ بنابراین روش فرآوری ایده آل فرایندی است که با حداقل آسیب به ساختار و افت ترکیبات مغذی در محصول، میکرووارگانیسم ها و آنزیم های مخرب را غیرفعال ساخته و واکنش های تخریب کننده را متوقف سازد. امروزه استفاده از فرایندهای غیرحرارتی نوین از جمله میدان های پالس الکتریکی جهت جلوگیری از کاهش کیفیت آب میوه نسبت به فرایند حرارتی مرسوم به عنوان یک pH رویکرد امیدوار کننده موردن توجه قرار گرفته است. پایین بودن pH در برخی میوه های از جمله آب لیمو تازه منجر به حفظ آن از رشد باکتری های بیماری زا می گردد. این در حالی است که استفاده از آب لیمو در مدت زمان طولانی تر منجر به مشکلات جدید بهداشت عمومی مرتبط با حضور میکرووارگانیسم های بیماری زا شده است [۲].

2. Pulsed Electric Field (PEF)

3. Electroporation

1. Key lime juice

تأثیر قابل توجهی بر میزان پایداری آب میوه دارد. آنزیم PME، پکتین متوكسیله شده را استریفه می کند که باعث از بین رفتن حالت ابری شدن در آب میوه می شود. برای تعیین اینمی محصولات غذایی با اسید بالا مانند آب مرکبات، به فرآوری پاستوریزاسیون در دمای بین $60\text{--}100^\circ\text{C}$ درجه سانتی گراد نیاز است. عملیات حرارتی با شدت بالا منجر به ایجاد یک رنگ مایل زرد درخشان می شود که در طول مدت زمان نگهداری حفظ می شود [۱۰].

کومار و همکاران (۲۰۰۵) گزارش کردند که استفاده از میدان الکتریکی پالسی با شدت ۳۸ کیلوولت بر سانتی متر در مدت زمان ۲۴ میکروثانیه و فرکانس $100\text{--}1000\text{ Hz}$ هرتز تأثیری قابل توجهی بر محتوای اسید آسکوربیک و رنگ نکtar انبه نداشت این در حالی که استفاده از تیمار حرارتی در حمام آب گرم (دمای 95°C به مدت ۱۰ دقیقه) موجب کاهش محتوای این ویتامین و بروز تغییرات نامطلوب رنگ محصول شد [۱۱]. همچنین مشاهده شد که تیمار آب کلم بروکلی با استفاده از PEF ($35\text{--}50\text{ kV/cm}$) موجب حفظ بیشتر محتوای آسکوربیک اسید در مقایسه با فرآوری حرارتی به روش مرسوم در دمای 90°C به مدت ۱ دقیقه شد [۱۲]. بیبو و همکاران (۲۰۱۹) گزارش کردند که فرآیند PEF یکی از بهترین روش های فرآوری جهت حفظ اسید آسکوربیک در نمونه آب سیب در مقایسه با آب سیب تازه بود. این در حالی است که به دلیل واکنش های تحریب اکسیداتیو، میزان اسید آسکوربیک نمونه های تحت فرآیند در طول ذخیره سازی به طور قابل توجهی کاهش یافت. در مقدار اسید آسکوربیک آب میوه فرآوری شده با PEF و نمونه تازه تغییرات معنی داری مشاهده نشد [۱۰].

در این پژوهش سیستم PEF طراحی و ساخته شده است و تأثیر زمان و شدت های مختلف میدان الکتریکی پالسی بر میزان تحریب آنزیم پکتین متیل استراز، اسید آسکوربیک و کدورت و رنگ طی فرآوری آبلیمو مورد بررسی قرار گرفت.

۲- مواد و روش

۲-۱- تهیه و آماده سازی آب لیمو

لیموها (*Citrus aurantiifolia*) پس از شست و شو، قطعه قطعه

پردازش مؤثر بر درجه غیر فعال سازی میکروبی و آنزیمی هستند [۵]. در این روش با قرار دادن غذا در یک اتاقک به همراه دو الکترود که پالس های الکتریکی کوتاه ایجاد می شود موجب غیرفعال شدن میکروارگانیسم و آنزیمها درنتیجه افزایش مدت زمان نگهداری غذای فرآیند شده با حداقل اثر بر کیفیت آنها می شود. میزان این اثر به شدت میدان الکتریکی، زمان فرآیند، شکل موج و دمای فرآیند وابسته است.

تغییرات ساختاری در آنزیمها پس از فرآیند PEF توسط یئوم و همکاران (۱۹۹۹) مشاهده شد [۶]. اما هنوز مکانیسم غیر فعال سازی آنزیمها توسط فرآیند PEF به خوبی درک نشده است. دو اثر الکتروشیمیایی و حرارتی مرتبط با PEF به صورت جداگانه یا هم افزایی منجر به تغییر در ساختار و ترکیب آنزیمها و غیرفعال شدن آن می شود [۷]. ساختار پروتئینها با تعادل بین پیوندهای پیتیدی کووالانسی و غیر کووالانسی از جمله پیوندهای هیدروژنی، هیدروفوبیکی، الکترواستاتیکی و واندروالسی تثبیت می شود. استفاده از میدان های الکتریکی خارجی موجب تحریب زنجیره های پیتیدی حاصل از واکنش های الکترواستاتیک می شود. علاوه بر این فرآیند PEF موجب تحریک الکترولیز و تشکیل رادیکال های آزاد می شود. درنتیجه موجب تغییر pH در محیط های مایع و اکسیداسیون اسیدهای آمینه ضروری برای بقای آنزیمها می گردد [۸]. یوم و دیگران (۲۰۰۰) تقریباً 90°C درصد غیرفعال شدن آنزیم پکتین متیل استراز در آب پر تقال را با اعمال میدان الکتریکی پالسی با شدت 35 kV/cm بر سانتی متر برای مدت زمان تیمار $59\text{--}60^\circ\text{C}$ میکروثانیه و دمای خروجی تقریباً 60°C گزارش کردند [۹].

پایداری حالت ابری نقش مهمی در ظاهر و ایجاد احساس دهانی مناسب دارد. طبق قانون استوکس قطر ذرات، تراکم ذرات و ویسکوزیته از دیگر عوامل تأثیرگذار بر سرعت رسوب و درنتیجه ثبات حالت ابری شدن دارد. کدورت به طور مثبت بر رنگ و خصوصیات ارگانولپتیک آب مرکبات تأثیر می گذارد. غشا و ترکیبات با وزن مولکولی بالا، مانند پکتین، در پارگی سلول های اندوکارپ در طی روش های استخراج مکانیکی، در آب مرکبات معلق می شود. پکتین، یک پلیمر مشتق شده از اسید- قند است که

4. Pectin methylesteras (PME)

سانتی متر در بازه زمانی ۵۰۰، ۸۰۰، ۶۶۶، ۵۷۱، ۱۰۰۰ میکروثانیه به محصول اعمال شد. نمونه‌ها بلافضلله بعد از تیمار PEF در حمام آب بین تا رسیدن به دمای محیط خنک شدند. نمای شماتیک دستگاه میدان الکتریکی پالسی در شکل ۱ نشان داده شده است.

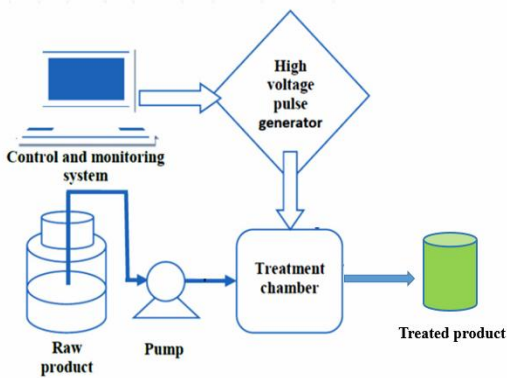


Fig 1 Schematic diagram of the system of PEF apparatus

۲-۳-۲- آزمون‌های فیزیکوشیمیایی

۲-۱-۳-۲- میزان فعالیت آنزیم پکتین متیل استراز

در این بررسی جهت اندازه‌گیری میزان فعالیت آنزیم پکتین متیل استراز^۰ از روش ارائه شده توسط کیم بال (۱۹۹۱) استفاده شد. در این روش میزان اسید تولیدشده به عنوان معیاری جهت اندازه‌گیری فعالیت این آنزیم در نظر گرفته می‌شود. ابتدا در یک بشر ۱۰۰ میلی‌لیتری، ۲۰ میلی‌لیتر محلول نمکی پکتین (محلول یک لیتری حاوی ۱۰ گرم پکتین و ۱۵/۳ گرم نمک سدیم کلرید) به ۵ میلی‌لیتر آب لیمو فرآوری شده اضافه شد. با توجه به تأثیر دما بر تعیین فعالیت این آنزیم، بشر ۱۰۰ میلی‌لیتری حاوی نمونه طی انجام آزمون داخل یک بشر ۲۵۰ میلی‌لیتری حاوی آب قرار داده شد. همچنین دمای نمونه با استفاده از همزن مغناطیسی به صورت یکنواخت روی ۳۰ درجه سانتی‌گراد تنظیم و حفظ گردید. جهت افزایش دقت انجام آزمایش نیاز است با استفاده از یک محلول قلیایی (سدیم هیدروکسید) pH نمونه به محدوده خنثی رسانده شود. پس از رساندن pH محلول با استفاده از سود pH ۲ نرمال به حدود ۷، با کمک سود رقیق تر (۰/۰۵ نرمال)

شده و سپس با استفاده از دستگاه آب میوه‌گیری، آبگیری و درنهایت صاف (مش ۱۷۰) می‌گردد. آزمون‌های فیزیکی و شیمیایی بلافضلله پس از فرآوری نمونه انجام شد.

۲-۲- طراحی و ساخت دستگاه

شکل ۱-۲ تصویر شما تیک سیستم فرآوری میدان الکتریکی پالسی را نشان می‌دهد. در این دستگاه از پمپ پیستونی مجهز به چهار سرنگ (حجم ۶۰ میلی‌لیتر) و با قابلیت تنظیم دبی جهت انتقال آب میوه به محفظه اصلی فرآیند استفاده شد. در پمپ از یک موتور با توان ۱۲ وات به منظور تأمین نیروی محرکه سیستم استفاده شد. انرژی الکتریکی مورد نیاز سیستم در این دستگاه توسط یک مولد فرکانس با قابلیت تغییر ولتاژ و عرض پالس تعیین شده است. تغییر ولتاژ در این دستگاه توسط یک واریاک ۵۰۰ ولت-آمپر صورت می‌گیرد که ولتاژ ورودی آن ۲۲۰ ولت تک فاز و خروجی آن از ۰ تا ۳۰۰ ولت قابل تغییر می‌باشد. از واریاک به عنوان منبع توان دستگاه استفاده می‌شود. تغییر فرکانس و عرض پالس با استفاده از یک مدار الکترونیکی با ماسفت‌های قدرت irfp460 که به صورت پل اج بسته شده‌اند صورت می‌گیرد. ولتاژ خروجی از واریاک به صورت متناوب وارد یک پل دیودی می‌شود و بعد از یکسو شدن در خازن ذخیره می‌شود. با ورود این جریان مستقیم به مدار سوییچینگ که از ۱۲ ماسفت تشکیل شده است و خاموش و روشن شدن ماسفت‌ها در فرکانس مورد نظر جریان به صورت پالس‌های مربعی از خروجی دستگاه خارج می‌شود. پالس‌های خروجی قابلیت تنظیم به صورت تکقطبی و دوقطبی را دارد. در سیستم فرمان الکترونیک از یک میکروپروسسور AVR استفاده شده است که فرکانس، عرض پالس و تعداد پالس اعمال شده به نمونه را تنظیم می‌کند. در محفظه فرآوری این دستگاه از دو الکترود از جنس استیل ضدزنگ (۳۱۴) به طول و ضخامت به ترتیب ۱۰۰ و ۰/۵ میلی‌متر استفاده شد. دو الکترود به صورت موازی با فاصله مشخص ۰/۴۵ میلی‌متر روبروی هم قرار داده می‌شود. شدت میدان الکتریکی (E)، به صورت نسبت اختلاف پتانسیل الکتریکی (kV)، برای دو الکترود به فاصله (d) تعیین می‌گردد. از این جهت با تنظیم ولتاژ خروجی دستگاه، میدان الکتریکی پالسی با شدت‌های ۲۲/۲۲، ۳۳/۳۳، ۴۴/۴۴ و ۵۵/۵۵ کیلوولت بر

۴-۳-۲- اندیس قهوهای شدن

برای بررسی رنگ نمونه‌های آب‌لیمو تازه و فرآوری شده از روش پردازش تصویر^۷ استفاده شد. بدین منظور از یک اسکنتر^۸ پوشانیده شده با پارچه کاملاً سیاه و ضخیم به منظور ایجاد محیطی کاملاً ایزوله جهت عکس‌برداری و جلوگیری از ایجاد خطای خطا به دلیل تغییر مقدار نور محیط و زاویه تابش استفاده شد. ۱۰ میلی‌لیتر از نمونه به یک پتروی دیش^۹ (با ارتفاع و قطر به ترتیب یک و نه سانتی‌متر) انتقال یافت و عکس‌برداری طبق روش گفته شده انجام شد. تصاویر با وضوح ۶۰۰ dpi و با فرمت JPEG ذخیره شدند. پس از انتقال تصاویر به رایانه مقادیر L^* , a^* و b^* نمونه‌ها با استفاده از نرم‌افزار Image J نسخه (۱/۴۷) استخراج گردید. تغییرات اندیس قهوهای شدن^{۱۰} (BI) طبق معادلات ۳ و ۴ محاسبه شد [۱۵].

$$x = \frac{a^* + 1.75L^*}{5.64L^* + a^* - 3.012b^*}$$

$$BI = \frac{100 \times (x - 0.31)}{0.17}$$

۵-۳-۲- اندازه‌گیری فنا کل

پلی فنل های موجود در آب‌لیمو به روش رنگ سنجی با معرف اولین سیوکالتیو به وسیله دستگاه اسپکتروفتومتر اندازه‌گیری شد. فسفوتنگستنیک موجود در معرف که اسید به فرمول شیمیابی H3PW12O40 احیاکننده است، گروه هیدرو کسی فنا اکسیدشده را سریعاً احیاء کرده و در پایان رنگ آبی ایجاد شد که حداثر جذب آن در طول موج ۷۸۰ نانومتر می‌باشد. در این آزمون، گالیک اسید به عنوان ترکیبی برای اندازه‌گیری پلی فنل ها در آب‌لیمو، در تهیه منحنی استاندارد مورد استفاده قرار گرفت [۱۶].

۶-۳-۲- ارزیابی حسی

ارزیابی حسی نمونه‌های آب‌لیمو توسط ۱۰ نفر از داوران حسی ۵ نفر مرد و ۵ نفر زن در رده سنی ۳۰-۴۰ سال انجام شد و قبل از انجام آزمون، به داوران آموزش‌های لازم داده و نمونه‌ها بر اساس پذیرش کلی، رنگ، بو، ترشی و ظاهر محصول در یک

محلول معادل ۷/۷ تنظیم شد. پس از آن ۰/۱ میلی‌لیتر سود ۰/۰۵ نرمال به صورت یکباره به نمونه اضافه شد. زمان مورد نیاز جهت تولید اسید ناشی از فعالیت آنزیم بر گروه کربوکسیل موجود در ساختار پکتین و خشی کردن افزایش pH ناشی از افزودن ۰/۱ میلی‌لیتر سود ثبت شد. با جایگذاری زمان برگشت pH به میزان (PEU/ml) در معادله ۱-۳ میزان فعالیت این آنزیم بر حسب محاسبه شد [۱۳].

$$PEU = \frac{N \times V_{NaOH}}{t \times V_{juice}}$$

در معادله فوق N , V_{juice} , t , V_{NaOH} به ترتیب معادل نرمالیته سود، حجم سود افزوده شده (میلی‌لیتر)، زمان ثبت شده (دقیقه) و حجم آب‌میوه (میلی‌لیتر) است.

۲-۳-۲- میزان اسید آسکوربیک

در این بررسی جهت اندازه‌گیری میزان اسید آسکوربیک از روش تیتراسیون ید (یدومتری) استفاده شد. جهت آماده‌سازی محلول ابتدا ۵ گرم پتاسیم یدید و ۰/۲۶۸ گرم پتاسیم یدات در بالان ۵۰۰ میلی‌لیتری با ۲۰۰ میلی‌لیتر آب مقطور به خوبی حل شد و سپس به محلول حاصل ۳۰ میلی‌لیتر اسید سولفوریک ۳ مولار اضافه گردید. در انتهای حجم محلول با آب مقطور به حجم ۵۰۰ میلی‌لیتر رسانده شد. به منظور اندازه‌گیری میزان اسید آسکوربیک بر اساس این روش، ابتدا ۲۰ میلی‌لیتر آب‌لیمو با ۱۵۰ میلی‌لیتر آب مقطور مخلوط شد. محلول حاصل پس از افزودن یک میلی‌لیتر محلول شاخص نشاسته ادرصد، با محلول ید تا ظهور رنگ آبی سیاه تیتر شد. میزان میلی‌گرم اسید آسکوربیک در ۱۰۰ میلی‌لیتر نمونه بر اساس معادله ۲-۳ محاسبه شد [۱۴].

= میزان اسید آسکوربیک (میلی‌گرم در ۱۰۰ میلی‌لیتر نمونه)
حجم معرف مصرفی \times ۰/۸۸

۴-۳-۲- اندیس ابری شدن (میزان کدورت)

جهت اندازه‌گیری اندیس ابری شدن (میزان کدورت)، ۵ میلی‌لیتر آب‌لیمو به مدت ۱۰ دقیقه در دمای محیط (۲۵°C) سانتریفوژ (۳۰۰۰ rpm) شد. سپس جذب محلول فوقانی نمونه سانتریفوژ شده در اسپکتروفتومتر در طول موج ۶۶۰ نانومتر قرائت شد که این میزان نشان‌دهنده‌ی میزان کدورت نمونه است [۱۵].

6. Turbidity

7. Image Processing
8. Scanner
9. Petri Dish
10. Browning Index

با PEF دمای آب لیمو براثر وقوع حرارت دهی اهمیک و اعمال میدان الکتریکی پالسی باشدت بالا افزایش یافت. بر این اساس تغییرات دمای خروجی نمونه پس از عبور از میدان الکتریکی پالسی ثبت شد. کمترین میزان تغییرات دما در میدان الکتریکی پالسی ۲۲/۲۲ کیلوولت بر سانتی‌متر و مدت زمان ۵۰۰ میکروثانیه، 20°C و بیشترین میزان تغییرات دما در میدان الکتریکی پالسی ۵۵/۵۵ کیلوولت بر سانتی‌متر و مدت زمان ۱۰۰۰ میکروثانیه 270°C مشاهده شد. به طور کلی با افزایش شدت میدان الکتریکی پالسی میزان افزایش دما در فرآوری PEF به طور چشمگیری افزایش یافت ($p < 0.05$). این در حالی است که تغییرات زمان تأثیر معنی‌داری بر افزایش دما نداشت ($p > 0.05$). این نتایج با پژوهش‌های انجام شده طی فرآوری آب پرتفال با PEF مشاهده شد [۱۹، ۲۰].

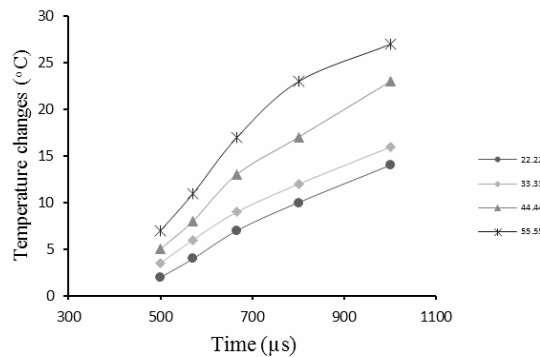


Fig 2 Temperature changes in PEF processing

میزان فعالیت آنزیم پکتین متیل استراز (PEU) در آب لیمو تازه 0.0013°C بود. نتایج حاصل از آنالیزهای آماری نشان داد که اعمال میدان‌های الکتریکی پالسی باشدت‌های بالاتر تأثیر معنی‌داری بر میزان تخریب آنزیم PME داشت ($p < 0.05$). حداقل تغییرات دمایی نمونه در بالاترین شدت میدان ۵۵/۵۵ کیلوولت بر سانتی‌متر) و زمان فرآیند 1000 میکروثانیه بود. علت افزایش دما در حین فرآیند PEF به فرآیند اهمیک نسبت داده می‌شود. افزایش دمای نمونه با یافته‌های پژوم و همکاران (۲۰۰۲) مطابقت داشت [۱۹]. در پژوهش وی افزایش دمای نمونه آب پرتفال در حین فرآیند PEF، 31°C گزارش شد. علاوه بر این دمای خروجی آب نارنگی حاصل از فرآوری PEF در

مقیاس هدونیک ۵ نقطه‌ای از ۱ دوست‌نداشتن تا ۵ دوست داشتن مورد ارزیابی قرار گرفت. نمونه‌ها آب میوه تازه و آب میوه فرآوری شده در لیوان یکباره مصرف سفیدرنگ بعد از فرآوری و ۳ کدهای رقمی به همراه یک لیوان آب در اختیار گروه ارزیاب‌ها قرار داده شدند. ویژگی‌های حسی آب لیمو نگهداری شده در بطری‌های شیشه‌ای در دمای 40°C و در بازه زمانی 45 و 90 روز مورد بررسی قرار گرفت [۱۷].

۴-۴- مدل آماری طرح و تجزیه و تحلیل داده‌ها

بررسی اثر فرآیند بر خصوصیات فیزیکوشیمیایی و پارامترهای سیستمیکی محصول پنج سطح زمان و سه سطح شدت میدان الکتریکی بر میزان فعالیت آنزیم پکتین متیل استراز، میزان آسید آسکوربیک، ان迪س ابری شدن و میزان قهوه‌ای شدن رنگ آب لیمو فرآوری شده به کاربرده شد. داده‌های حاصل آزمون‌های فیزیکوشیمیایی در سه تکرار با استفاده از نرم‌افزار SAS (نسخه ۹/۱) در قالب طرح فاکتوریل کاملاً تصادفی و با آزمون دانکن در سطح معناداری 95 درصد انجام شد. آنالیز داده‌ها و رسم نمودارها، به کمک نرم‌افزارهای Microsoft excel 2013 صورت پذیرفت.

۳- نتایج و بحث

۳-۱- خواص فیزیکوشیمیایی آب لیمو تازه

برخی از ویژگی‌های فیزیکوشیمیایی آب لیمو تازه در جدول ۱ اندازه‌گیری شد [۱۸].

Table 1 physico-chemical properties of fresh key lime juice

| composition | content |
|-----------------------------------|---------|
| pH | 2.4 |
| Density(kg/m^3) | 1.46 |
| Soluble Solid (gr/100) | 7.8 |
| Acidity (gr/100) | 5.68 |
| Ash (gr/100) | 3.46 |

۳-۲- غیر فعال‌سازی آنزیم پکتین متیل استراز با PEF استفاده از

بر اساس نتایج ارائه شده در شکل ۲ مشخص شد که طی فرآوری

میکروثانیه توسط یئوم و همکاران (۲۰۰۰) گزارش شد [۱۹]. رودریگو و همکاران (۲۰۰۳) با اعمال میدان الکتریکی پالسی ۲۵ کیلوولت بر سانتی متر به مدت ۳۴۰ میکروثانیه برای مخلوط آب PME - پرتقال به غیر فعال سازی ۸۰ درصدی از آنزیم رسیدند [۲۴] (شکل ۳).

غیرفعال کردن آنزیم PME در منابع مختلف گیاهی (پرتقال، هویج، موز)، بعد از تیمار PEF (زمان کل ۱/۶ میلی ثانیه و قدرت میدان الکتریکی ۱۹/۱ کیلوولت بر سانتی متر) موربدرسی قرار گرفت. غیر فعال سازی آنزیم PME در پرتقال، گوجه، هویج و موز به ترتیب ۸۷، ۸۳، ۸۷ و ۴۵ درصد مشاهده شد [۲۵]. در غیرفعال شدن آنزیم اولین اتفاقی که رخ می دهد باز شدن ساختار پروتئین است. این تغییرات از نوع کووالانسی بوده که منجر به تغییرات کافورماسیونی^{۱۲} در ساختار مخصوص پروتئین می شود. ساختار دوم و سوم آنزیمها توسط پیوندهای هیدروژنی تثیت شده است که تغییر آنها توسط میدان های پالس الکتریکی ممکن است منجر به دناتوراسیون ساختار آلفا هیلیکس^{۱۳} پروتئین و درنتیجه به هم ریختن ساختمان تترامر^{۱۴} آنزیم می شود؛ مطالعات زیادی حاکی از تخریب ساختار مارپیچ آلفا توسط PEF شده است. همچنین رابطه مستقیم بین از دست دادن ساختار مارپیچ آلفا و غیرفعال شدن آنزیم وجود دارد. فرآیند PEF سبب تغییر در پروفایل اسیدآمینه در آب انگور نشده است که این امر بیانگر عدم تأثیر PEF بر ساختار اولیه پتید و اسیدآمینه می باشد. ترفنی و همکاران (۲۰۱۵) گزارش کردند که در مدت زمان نگذاری آب میوه فرآوری شده با فرآیند PEF، هیچ فعالیت آنزیمی مشاهده نشد. در روش PEF مکان های فعال بیشتر بر روی آنزیم و یا بر هم کنش طولانی تر آنزیم با سوبسترا مشاهده می شود [۲۰، ۲۶]. علاوه بر این پالس ها می توانند انرژی فعال سازی واکنش را کاهش دهند. مهم ترین اثرات فرآیند PEF بر ساختار پروتئین شامل جابجایی الکترون آزاد، یون ها، سایر ترکیبات باردار، قطبیت جابجایی باندها، الکترون در اتم، اتم در مولکول، چرخش مولکولی و ایجاد دوقطبی لحظه ای و درنهایت تغییر ثابت دی الکتریک می باشد. علاوه بر این افزایش

شدت میدان الکتریکی پالسی ۲۵ کیلوولت بر سانتی متر و زمان فرآیند ۳۳۰ میکروثانیه، C ۷۲° و نمونه آب پرتقال فرآوری شده با PEF در شدت میدان ۲۳ کیلوولت بر سانتی متر و زمان ۳۶ میکروثانیه، C ۵۸° گزارش شد [۲۱]. به طور کلی با افزایش میدان از ۲۲/۲۲ به ۵۵/۵۵ کیلوولت بر سانتی متر در یک زمان ثابت فرآوری میزان تخریب آنزیم PME به طور میانگین ۲۵ درصد افزایش یافت. از این رو می توان گفت که بین شدت میدان الکتریکی پالسی و تخریب آنزیم PME ارتباط مستقیمی وجود دارد. علاوه بر این با افزایش زمان اعمال PEF بر نمونه، میزان تخریب آنزیم PME افزایش یافت ($p < 0.05$). به طور کلی می توان گفت کمترین میزان تخریب آنزیم PME ۲۲/۱ درصد مربوط به شدت میدان ۲۲/۲۲ کیلوولت بر سانتی متر و زمان ۵۰۰ میکروثانیه بود و حداقل میزان تخریب در میدان الکتریکی ۵۵/۵۵ کیلوولت بر سانتی متر و زمان فرآیند ۱۰۰۰ میکروثانیه مشاهده شد که این میزان تخریب $\frac{۳}{۴}$ درصد بود. اگرچه فرآوری PEF یک فناوری غیر گرامی تلقی می شود، اما افزایش دما حین این فرآیند به عنوان یک پارامتر مهم تلقی می گردد و می تواند نقش مهمی در غیر فعال سازی میکرووارگانیسم ها، آنزیم ها و همچنین تخریب ترکیبات بیوакتیو های ناپایدار در گرما داشته باشد. افزایش دما موجب بهبود غیر فعال سازی آنزیم PME در حین فرآیند PEF می شود. اغلب آنزیم ها از جمله آنزیم PME در دمای اتاق در حین فرآیند PEF مقاوم و پایدار می باشد. میزان انرژی ورودی و زمان فرآیند تأثیر چشمگیری بر میزان تخریب این آنزیم دارد. با اعمال انرژی ورودی ۴۴ مگاژول در هر لیتر و مدت زمان فرآوری ۸۰۰۰ میکروثانیه، غیر فعال سازی $\frac{۸}{۸}$ درصد آنزیم PME در گوجه فرنگی مشاهده شد. بیشترین افزایش دما در این پژوهش 15°C گزارش شده است [۱۵، ۲۲]. چنین نتایج مشابهی توسط مارتینز و همکاران (۲۰۰۷) مشاهده شد. استفاده از میدان الکتریکی پالسی ۳۵ کیلوولت بر سانتی متر و مدت زمان ۱۵۰۰ میکروثانیه (۸ مگاژول بر لیتر) موجب افزایش دما 35°C و غیر فعال سازی ۷۷ درصد تخریب آنزیم PME شد [۱۵، ۲۳]. اولین بار تغییرات ساختاری آنزیم ها پس از فرآیند PEF توسط یئوم و همکاران در سال ۱۹۹۹ گزارش شد. کاهش ۹۰ درصد آنزیم PME آب پرتقال تحت تیمار PEF با شدت میدان الکتریکی ۳۵ کیلوولت بر سانتی متر در زمان ۵۹

12. Conformational

13. Alpha Helical

14. Tetrameric

میزان تخریب اسید آسکوربیک به ترتیب مربوط به نمونه فرآوری شده در شدت میدان الکتریکی پالسی ۲۲/۲۲ کیلوولت بر سانتی‌متر و مدت زمان ۵۰۰ میکروثانیه بود و بالاترین میزان تخریب مربوط نمونه فرآوری شده در شدت میدان الکتریکی ۵۵/۵۵ کیلوولت بر سانتی‌متر و مدت زمان ۱۰۰۰ میکروثانیه بود. تأثیر زمان بر تخریب اسید آسکوربیک از لحاظ آماری معنی دار بود ($p < 0.05$). در این پژوهش با اعمال بالاترین شدت میدان الکتریکی ۵۵/۵۵ کیلوولت بر سانتی‌متر در مدت زمان ۱۰۰۰ میکروثانیه در حدود ۸۶ درصد اسید آسکوربیک حفظ شد. این نتایج با امس و همکاران (۲۰۰۹) مطابقت داشت. در حدود ۹۹/۹ درصد مقدار اسید آسکوربیک آب هندوانه فرآوری شده با PEF در شدت میدان الکتریکی پالسی ۳۵ کیلوولت بر سانتی‌متر در مدت زمان فرآوری ۵۰ میکروثانیه و فرکانس ۵۰ هرتز حفظ شد که با افزایش شدت میدان الکتریکی پالسی (فرکانس و عرض پالس) بیش از ۵۰ درصد اسید آسکوربیک کاهش یافت [۲۹]. فرآیند PEF یکی از بهترین روش‌های فرآوری غیرحرارتی جهت حفظ بیشتر مقدار اسید آسکوربیک در آب میوه‌ها می‌باشد. اسید آسکوربیک یک ترکیب حساس به حرارت و به عنوان شاخص کیفیت تغذیه‌ای طی فرآوری مواد غذایی در نظر گرفته می‌شود. در صورت حفظ اسید آسکوربیک در ماده غذایی، سایر ترکیبات مغذي نیز حفظ خواهد شد [۱۰].

به طور کلی این موضوع حساسیت حرارتی بالای این ترکیب و اهمیت کنترل فرآیند حین تولید را نشان می‌دهد. دمای بالا منجر به افت اسید آسکوربیک می‌شود. زیرا گرمای موجب تسريع فرآیند اکسیداسیون اسید آسکوربیک می‌شود. نتایج حاصل از پژوهش‌های الیز مارتینز و همکاران (۲۰۰۷) نشان داد که درصدی آسکوربیک اسید در نمونه تحت فرآوری PEF تخریب می‌شود که علت آن را به افزایش دما طی فرآوری با PEF براثر قوع حرارت دهی اهمیک نسبت داده شد. تخریب ۱ درصدی اسید آسکوربیک در شدت میدان 35 kV/cm و مدت زمان $5 \mu\text{s}$ و دمای خروجی 59°C و دمای خروجی 60°C گزارش کردند [۹]. این در حالی است که ایوندیلیک و همکاران (۲۰۰۰) هیچ تغییری در میزان اسید آسکوربیک آب سبب فرآوری شده با PEF مشاهده نکرد. در این پژوهش میدان الکتریکی پالسی ۳۵ کیلوولت بر سانتی‌متر و مدت زمان فرآوری ۹۴ میکروثانیه (دمای خروجی 38°C) بود.

فوری دما در حین پالس ممکن است به دناتوراسیون^{۱۰} آنزیم PME کمک کند. هم‌افزایی بین گرمای PEF که در تعدادی از مطالعات گزارش شده است، به افزایش تحرک گروه‌های باردار در دماهای بالاتر مربوط می‌شود که بر فعل و انفعالات الکترواستاتیک و ثبات پروتئین‌ها تأثیر می‌گذارد. به طور کلی غیر فعال‌سازی آنزیم توسط عملیات حرارتی ممکن است به دلیل دناتوراسیون آنزیم می‌باشد که با نتایج کرپنبر و همکاران (۲۰۰۶) مطابقت دارد [۲۷، ۲۸].

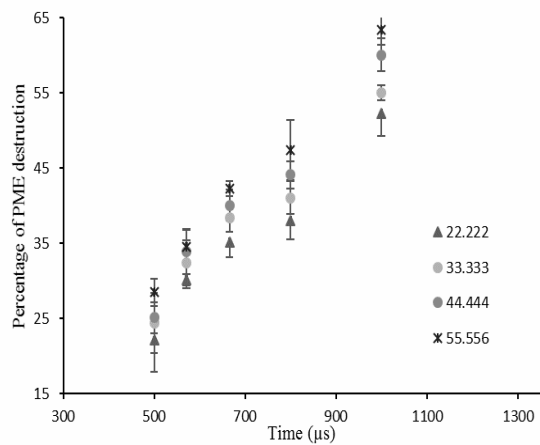


Fig 3 The effect of pulsed electric field and time on PME enzyme destruction in PEF process

۲-۲-۳- اثر فرآوری PEF بر میزان اسید آسکوربیک

موجود در آب‌لیمو

در این پژوهش میزان اسید آسکوربیک آب‌لیمو تازه برابر با ۲۲/۲۴ میلی‌گرم در هر ۱۰۰ گرم عصاره بود. تأثیر شدت میدان الکتریکی پالسی بر میزان تغییرات اسید آسکوربیک طی زمان‌های مختلف فرآوری در شکل ۳-۳ نشان داده است. با افزایش شدت میدان مقدار اسید آسکوربیک در نمونه آب‌لیمو کاهش یافت (۰/۰۵). به طور کلی می‌توان گفت با افزایش شدت میدان الکتریکی پالسی در مدت زمان ثابت فرآوری به طور میانگین میزان تخریب اسید آسکوربیک ۲/۵ درصد افزایش یافت.

وقتی شدت میدان الکتریکی پالسی افزایش می‌باید ساختار اسید آسکوربیک از فرم انول به فرم کتو تغییر یافته که منجر به افزایش میزان تخریب اسید آسکوربیک می‌گردد [۲۹ و ۳۸]. پایین‌ترین

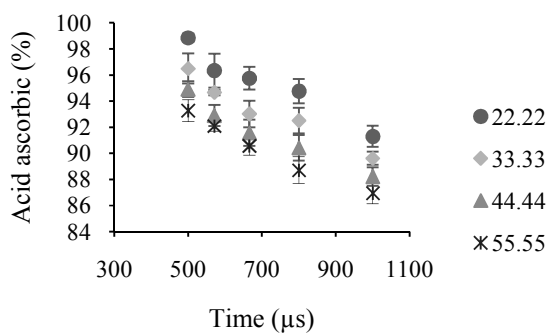


Fig 4 The effect of pulsed electric field and time on acid ascorbic content in PEF process

۳-۲-۳- اثر فرآوری PEF بر تغییرات ابری شدن آب لیمو

پایداری حالت ابری نقش مهمی در ظاهر و ایجاد احساس دهانی مناسب دارد. کدورت به طور مثبت بر رنگ و خصوصیات ارگانولپتیک آب مرکبات تأثیر می‌گذارد. همان‌طور که در شکل ۳-۴ نشان شده است. با افزایش میدان‌های الکتریکی پالسی میزان کدورت نمونه افزایش یافت ($p < 0.05$). علاوه بر این ارتباط مستقیمی بین زمان فرآوری و میزان کدورت مشاهده شد ($p < 0.05$).

با افزایش شدت میدان در زمان‌های فرآوری (۱۰۰۰، ۸۰۰، ۶۶۶، ۵۷۱، ۵۰۰ میکروثانیه) به طور میانگین میزان کدورت ۸ درصد افزایش یافت. این نتایج با پژوهش‌های گزارش شده توسط بوریچ (۱۹۹۷) مطابقت داشت [۲۹]. پکتین، یک پلیمر مشتق شده از اسید-قند است که تأثیر قابل توجهی بر میزان پایداری ابری شدن آب میوه دارد. آنزیم PME، پکتین متوكسیله شده را استریفه می‌کند که باعث از بین رفتن حالت ابری شدن در آب میوه می‌شود. بنابراین ارتباط مستقیم میزان تخریب بین آنزیم PME و تغییرات کدورت در این پژوهش مشاهده شد. کراک و کروডینگ (۲۰۰۶) گزارش کردند که گروه‌های متوكسی مولکول‌های پکتین ممکن است توسط آنزیم و در حضور کاتیون‌های دو ظرفیتی مانند کلسیم یا منیزیم دی استریفیه نشده و با یون‌ها پیوندهای عرضی ایجاد کرده که منجر به تشکیل ژل و درنتیجه از بین رفتن حالت ابری آب میوه می‌شود بنابراین کاهش ثبات ابری شدن به علت فعالیت آنزیم PME می‌باشد و کمتر به تغییرات اندازه

[۳۰]. چنین نتیجه مشابهی در پژوهش‌های مین و همکاران (۲۰۰۳) گزارش شد [۳۱]. بنابراین می‌توان تأثیر مخرب افزایش دما در مقایسه با کاهش زمان فرآیند بر کیفیت حسی و تغذیه‌ای آب میوه با استفاده از فرآیند PEF با اعمال میدان الکتریکی پالسی یکسان مشاهده کرد. جهت به حداقل رساندن تخریب اسید آسکوربیک در فرآیند PEF دمای خروجی کمتر از ۵۰°C پیشنهاد شده است [۳۲].

حفظ اسید آسکوربیک به شدت میدان الکتریکی، زمان فرآیند، فرکانس پالس، عرض پالس در حین فرآیند بستگی دارد. هر چه میزان شدت میدان کمتر و زمان فرآیند کوتاه‌تر باشد میزان حفظ اسید آسکوربیک بیشتر می‌شود. علاوه بر این دوقطبی فرآیند PEF موجب حفظ بیشتر اسید آسکوربیک در مقایسه با تکقطبی بودن فرآیند می‌شود. حفظ بیش از ۸۷/۵ درصد اسید آسکوربیک در آب پرتقال و ۸۴/۳ درصد برای gazpacho در شدت میدان الکتریکی پالسی ۳۵ کیلوولت بر سانتی‌متر در مدت زمان فرآیند ۱۰۰۰ میکروثانیه گزارش شد [۳۳]. با کاهش زمان فرآیند به ۷۵۰ میکروثانیه ۹۳ درصد اسید آسکوربیک در آب پرتقال فرآوری شده با شدت میدان الکتریکی پالسی ۳۵ کیلوولت بر سانتی‌متر (C۵۰۰۰) حفظ شد [۳۴].

به طور کلی حفظ بیشتر اسید آسکوربیک را می‌توان به پایین بودن pH در آب لیمو نسبت داد. زیرا اسید آسکوربیک در شرایط اسیدی مقاومت و پایداری بیشتری دارد [۳۵]. تخریب اسید آسکوربیک تحت تأثیر ترکیباتی می‌باشد که در واکنش‌های اکسیداسیون شرکت می‌کنند. علاوه بر این کاهش آسکوربیک اسید در آب میوه‌های تازه نیز ناشی از واکنش‌های آنزیمی اکسیداتیو است که توسط آسکوربات اکسیداز و پراکسیداز تسريع می‌یابد [۳۶].

پژوهش‌های بسیاری استفاده از PEF جهت فرآوری آب میوه‌ها به عنوان یک روش نوین و مؤثر جهت حفظ بیشتر این ویتامین در مقایسه با روش مرسوم حرارتی گزارش کردند [۳۷ و ۳۲ و ۹]. که علت آن را به علت پایین‌تر بودن دما و کوتاه بودن زمان فرآیند PEF در مقایسه با فرآیندهای حرارتی نسبت داده می‌شود [۲۳ و ۲۸].

($p < 0.05$). آنالیز واریانس و نیز مقایسه میانگین تغییرات میزان a^* تیمارهای مختلف نشان داد شدت میدان الکتریکی تأثیر معنی‌داری بر این مؤلفه دارد ($p < 0.05$). در حالی که مدت زمان فرآوری پالس الکتریکی بر این مؤلفه از لحاظ آماری معنی‌داری نبود ($p > 0.05$). به طورکلی می‌توان گفت فرآیند PEF به علت کوتاه بودن زمان فرآیند تا حدود زیادی می‌تواند در حفظ ظاهر محصول مشابه آب‌لیمو تازه مفید واقع گردید (شکل ۴-۵ ب). به طورکلی مطالعات بسیاری وجود دارد که نشان می‌دهد هیچ تغییری در رنگ نمونه‌های فرآوری شده با PEF از جمله انگور، لیمو، نارنگی و آب پرتقال ایجاد نمی‌شود [۴۲و۴۳]. الیز مارتینز و همکاران، ۲۰۰۶. علت حفظ بهتر رنگ در فرآیند PEF کاهش میزان تشکیل ۵-هیدرو کسی متیل -۲-فورفورال می‌باشد. این ترکیب به عنوان شاخص واکنش‌های قهقهه‌ای شدن غیر آنزیمی در آب‌میوه‌ها محسوب می‌شود [۳۱].

شکل ۴-۵ ج تغییرات میزان ان迪س b^* رنگ آب‌لیمو پس از فرآیند PEF نشان می‌دهد. با تغییر شدت میدان الکتریکی از ۵۵/۵۵ به ۲۲/۲۲ کیلوولت بر سانتی‌متر در مدت زمان‌های مختلف فرآوری میزان ان迪س b^* افزایش یافت ($p < 0.05$). در مدت زمان ثابت فرآوری ۵۰۰ میکروثانیه با افزایش میدان از ۲۲/۲۲ به ۳۳/۳۳ و ۴۴/۴۴ و ۵۵/۵۵ میزان تغییرات این مؤلفه نسبت به نمونه شاهد به ترتیب $0.075\text{, }1.21\text{, }5.4\text{, }6.45$ درصد مشاهده شد. با افزایش مدت زمان فرآوری میزان این مؤلفه افزایش یافت که از لحاظ آماری معنی‌دار نشد ($p > 0.05$). مقدار قرمزی بیشتر در محصولات فرآوری شده با PEF در آب گوجه [۳۱]، آب پرتقال [۴۴] و آب نارنگی [۲۹] مشاهده شد.

نتایج حاصل از این پژوهش با قرقچی و بزرگر، ۲۰۰۹ و پاتراس و همکاران، ۲۰۰۹ مطابقت داشت. نتایج حاصل از پژوهش‌ها نشان داد که آب انار فرآوری شده با PEF دارای مقدار کمتری روشنایی (رنگ تیره‌تر)، مقدار a^* افزایش (قرمز) و مقدار b^* (زردی) تغییر نکرد [۴۵و۴۶]. چنین نتایج مشابهی در میزان فاکتورهای رنگی در آب کیلاس ترش فرآوری شده با PEF به ترتیب در مقایسه با نمونه شاهد L^* $1/۸۰$ به 0.91 و a^* به 0.11 و b^* به 0.085 [۴۷و۴۸].

ذرات بستگی دارد [۴۰]. نتایج مشابهی توسط رینر و همکاران (۲۰۰۹) گزارش شد [۴۱]. یئوم و همکاران (۲۰۰۰) گزارش کردند که آب مرکبات تیمار شده با PEF دارای پایداری کدورت قابل مقایسه‌ای با آب‌میوه‌های پاستوریزه شده با حرارت هستند [۴۹]. بنابراین می‌توان گفت استفاده از میدان‌های الکتریکی پالسی با شدت بالا می‌تواند تأثیر چشمگیری در حفظ میزان کدورت آب‌میوه در مقایسه با نمونه شاهد داشته باشد.

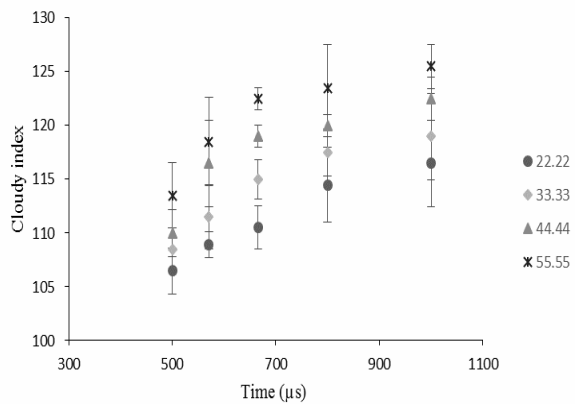


Fig 5 The effect of pulsed electric field and time on turbidity index in PEF process

۴-۲-۴- تغییرات فاکتورهای رنگی

شکل ۶(الف) نشان‌دهنده تأثیر شرایط فرآوری بر میزان روشنایی رنگ آب‌میوه می‌باشد. آنالیز آماری نتایج نشان داد که استفاده از شدت‌های مختلف میدان الکتریکی پالسی تأثیر معنی‌داری بر فاکتورهای رنگی (L^*, a^*, b^*) داشت ($p < 0.05$). علاوه بر این با افزایش زمان فرآیند میزان روشنایی محصول کاهش یافت ($p < 0.05$). دلیل افزایش تیرگی رنگ نمونه را می‌توان به تخریب ترکیباتی مانند رنگدانه‌ها، اسید آسکوربیک و تغییر در میزان کدورت رنگ نمونه دانست. میزان ان迪س روشنایی در نمونه شاهد ۶۴/۰۵ گزارش شد که با اعمال میدان‌های الکتریکی پالسی با شدت بالا میزان تخریب آنژیم PME افزایش یافته و درنتیجه میزان کدورت بیشتری از آب‌میوه حفظ و روشنایی محصول کاهش می‌یابد. بالاترین میزان کاهش روشنایی در نمونه فرآوری شده با شدت میدان الکتریکی پالسی ۵۵/۵۵ کیلوولت بر سانتی‌متر و مدت زمان ۱۰۰۰ میکروثانیه بود.

با توجه به افزایش میزان مؤلفه a^* می‌توان گزارش کرد که رنگ آب‌لیمو طی فرآوری طولانی‌تر به سمت قرمزی تغییر یافت

یافت ($p < 0.05$). در تمامی شدت‌های مختلف میدان مقدار L^* کاهش و مقدار b^* , a^* افزایش یافت که نمایانگر قهوه‌ای شدن و تیره شدن رنگ محصول است. با افزایش زمان فرآیند از ۵۰۰ به ۵۷۱، ۶۶۶، ۸۰۰ و ۱۰۰۰ میکروثانیه و در شدت میدان ۲۲/۲۲ کیلوولت بر سانتی‌متر به ترتیب میزان ان迪س قهوه‌ای شدن ۳/۸۰، ۹/۸۲، ۱۴/۷۶، ۱۵/۸۷ و ۱۷/۷۰ درصد افزایش یافت. ویژگی‌های رنگی آبمیوه‌ها تحت تأثیر واکنش‌های غیر آنزیمی و تغییر رنگدانه‌های طبیعی در حین فرآوری محصول از جمله تغییرات دما و زمان در حین فرآیند قرار می‌گیرد [۴۹]. تأثیر افزایش میدان‌های الکتریکی پالسی در مدت زمان فرآوری ثابت از لحاظ آماری معنی دار بود. با افزایش میدان الکتریکی پالسی از ۲۲/۲۲ به ۳۳/۳۳، ۴۴/۴۴ و ۵۵/۵۵ کیلوولت بر سانتی‌متر به ترتیب ۰۰۰، ۶/۵۰ و ۱۳/۲۹ درصد در مدت زمان فرآوری ۱۰۰۰ میکروثانیه بود.

به طورکلی استفاده از میدان‌های الکتریکی پالسی با شدت بالا میزان تیرگی رنگ محصول در مقایسه با نمونه شاهد افزایش داد ($p < 0.05$). این نتایج با پژوهش‌های ویکتر و همکاران (۲۰۱۵) مطابقت داشت [۵۰]. بالاترین میزان تیرگی رنگ محصول در نمونه فرآوری شده در مدت زمان فرآوری ۱۰۰۰ میکروثانیه و در شدت میدان‌های الکتریکی ۵۵/۵۵ کیلوولت بر سانتی‌متر ۴۱/۸۶ درصد در مقایسه با نمونه شاهد بود. بنابراین می‌توان نتیجه گرفت استفاده از میدان‌های الکتریکی پالسی در شدت بالا به علت افزایش دمای ناشی از فرآیند اهمیک می‌تواند موجب تخریب رنگدانه‌های محصول و درنتیجه تیرگی رنگ محصول در مقایسه با نمونه تازه گردد. چنین نتیجه مشابهی در نمونه آب گوجه‌فرنگی توسط آگیلو و همکاران (۲۰۰۸) مشاهده شد [۵۱]. اثر فرآیند PEF بر رنگ آب سبب توسط بای و همکاران (۲۰۱۳) نشان داد که با افزایش قدرت میدان الکتریکی پالسی میزان روشنایی کاهش و زردی افزایش می‌یابد که علت آن را می‌توان به غیر فعال‌سازی آنزیم‌های پراکسیداز و پلی‌فنا اکسیداز نسبت داد [۵۲].

به طورکلی تأثیر فرآیند PEF بر رنگ محصول به علت الکتروپوریشن بیچیده می‌باشد. زیرا الکتروپوریشن موجب نشت مواد داخل سلولی به خارج از سلول می‌شود بنابراین فعالیت برخی از آنزیم‌ها افزایش می‌یابد. علاوه بر این کاربرد PEF منجر

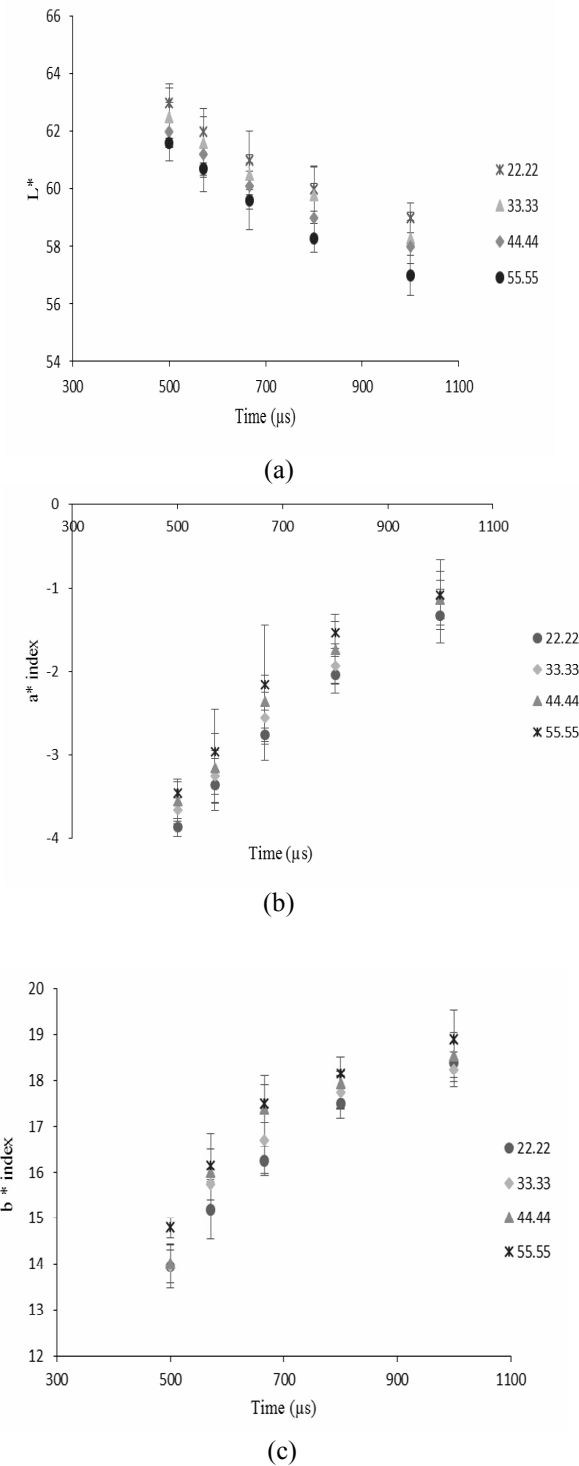


Fig 7 The effect of pulsed electric field and time on L^* (a), a^* (b), b^* (c) index in PEF process

۱-۴-۲-۳- اندیس قهوه‌ای شدن
همان‌طور که در شکل ۸ نشان داده شده است با افزایش شدت میدان الکتریکی پالسی و زمان میزان اندیس قهوه‌ای شدن افزایش

فرآوری شده در شدت میدان الکتریکی پالسی ۵۵/۵۵ کیلوولت بر سانتی متر و مدت زمان ۱۰۰۰ میکروثانیه در مقایسه با نمونه شاهد بود. این پژوهش‌ها مطابق با ژانگ و همکاران (۱۹۹۵) بود [۵۶]. به طور کلی تأثیر فرآیند PEF بر میزان ترکیبات آنتی‌اکسیدان نمونه به کنترل شرایط فرآیند بستگی دارد. گتو و همکاران (۲۰۱۴) گزارش کردند میزان ترکیبات فنلی فرآیند شده با PEF در آب انار در شرایط ۳۵-۳۸ کیلوولت بر سانتی متر و مدت زمان ۲۸۱ میکروثانیه در دمای ۵۵ درجه سانتی گراد تغییر نمی‌کند [۵۷]. علاوه بر این در آب هندوانه فرآوری شده با PEF با افزایش شدت میدان الکتریکی پالسی از ۲۵ به ۳۵ کیلوولت بر سانتی متر در مدت زمان ۱۰۵۰ میکروثانیه مقدار ترکیبات آنتی‌اکسیدانی افزایش یافت [۳۴]. به طور کلی روش فرآوری PEF به عنوان یک روش غیر حرارتی نوین به طور چشمگیری موجب حفظ ترکیبات فنلی در مقایسه با روش حرارتی می‌شود. اعمال فرآیند PEF منجر به کاهش ۱۸ درصدی ترکیبات فنلی در آب چشالو^{۱۷} شد در حالی که فرآیند حرارتی موجب افت ۴۲ درصدی این ترکیبات در آب چشالو شد [۵۸].

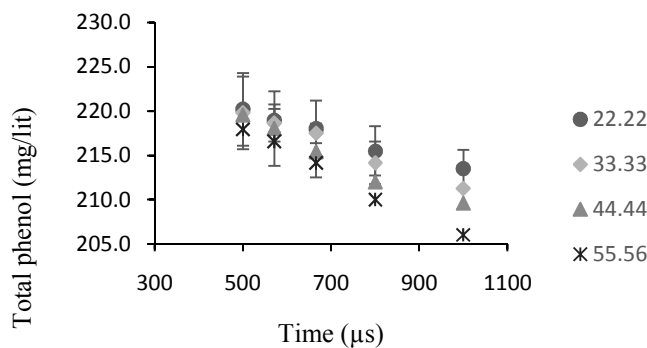


Fig 9 The effect of pulsed electric field and time on Total phenol in PEF process

۵-۲-۳- ارزیابی حسی

با افزایش میدان الکتریکی پالسی رنگ و زمان فرآیند نمونه‌های فرآوری شده با PEF امتیاز کمتری در مقایسه با نمونه شاهد داشت (شکل ۱۰). رنگ نمونه‌های فرآوری شده با PEF در مدت زمان نگهداری ۴۵ و ۹۰ روز تمايل بیشتری به رنگ زردی PEF در مقایسه با نمونه شاهد داشت ($p < 0.05$). فرآوری با

به تشکیل گونه‌های فعال اکسیژنی^{۱۶} می‌شود که بر ویژگی‌های نوری محصول تأثیرگذار است. فرآیند PEF با غیرفعال کردن آنزیم‌ها موجب جلوگیری از تغییر رنگ محصول می‌شود [۵۳ و ۵۴]. این در حالی است که کاهش میزان روشنایی با افزایش شدت میدان الکتریکی پالسی و زمان فرآیند منجر به آزاد شدن بیشتر آنزیم پلی فنا اکسیداز بعد از الکتروپوریشن می‌شود [۵۵].

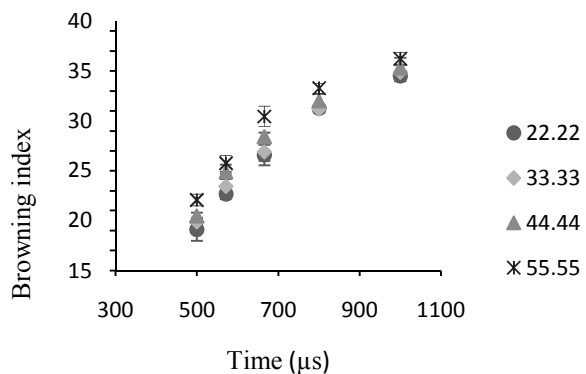


Fig 8 The effect of pulsed electric field and time on browning index in PEF process

۵-۲-۴- ترکیبات فنلی

مقدار ترکیبات فنلی در نمونه شاهد برابر ۲۲۱/۶ میلی گرم در هر لیتر بود. با افزایش شدت میدان الکتریکی پالسی و مدت زمان فرآوری PEF مقدار ترکیبات فنلی به طور چشمگیری کاهش یافت ($p < 0.05$) (شکل ۹). فنل‌ها به عنوان متabolیت‌های ثانویه در گیاهان گزارش شده‌اند که نقش مهمی در ایجاد طعم و رنگ در آب میوه‌ها ایفا می‌کنند. ترکیبات فنلی و اسید آسکوربیک از مهم‌ترین عوامل در فعالیت آنتی‌اکسیدانی آب لیمو می‌باشد. مطالعات بسیاری ارتباط مستقیم بین محتوای فنولیک کل و فعالیت آنتی‌اکسیدانی را به اثبات رسانده‌اند. با افزایش شدت میدان الکتریکی پالسی میزان الکتروپوریشن افزایش می‌یابد و مقدار بیشتری از ترکیبات فنلی به علت تخریب غشا آزاد می‌گردد؛ اما به علت افزایش دمای خروجی فرآیند PEF ناشی از وقوع حرارت دهی اهمیک مقدار ترکیبات فنلی کاهش یافت. بیشترین میزان تخریب ترکیبات فنلی ۹/۵ درصد در نمونه

گرمای کمی در ماده غذایی ایجاد می‌شود و بدین ترتیب در مواد غذایی که تحت فرایند پالس الکتریک قرار گرفته‌اند، مواد مغذی، ویتامین‌ها، بافت و عطر و طعم و نیز میکرو ساختار ماده غذایی نسبت به نمونه‌هایی که فرایند حرارتی به آن‌ها اعمال می‌شود بهتر حفظ می‌گردد. بنابراین به منظور حفظ خصوصیات کیفی ماده غذایی نسبت به روش‌های حرارتی برتری دارد.

به‌طورکلی با افزایش میدان از ۲۲/۲۲ به ۵۵/۵۵ کیلوولت بر PME سانتی‌متر در یک‌زمان ثابت فرآوری میزان تخریب آنزیم به‌طور میانگین ۲۵ درصد افزایش یافت. از این‌رو می‌توان گفت که بین شدت میدان الکتریکی پالسی و تخریب آنزیم PME ارتباط مستقیمی وجود دارد. علاوه بر این با افزایش زمان اعمال PEF بر نمونه میزان تخریب آنزیم PME افزایش یافت ($p < 0.05$). با افزایش شدت میدان الکتریکی پالسی میزان تخریب اسید آسکوربیک درصد افزایش یافت. اعمال بالاترین شدت میدان الکتریکی ۵۵/۵۵ کیلوولت بر سانتی‌متر در مدت‌زمان ۱۰۰۰ میکروثانیه موجب حفظ ۸۶ درصد اسید آسکوربیک شد. با افزایش شدت میدان و زمان فرآیند اندیس قهوه‌ای شدن افزایش یافت ($p < 0.05$). به‌طورکلی می‌توان گفت استفاده از روش غیر-حرارتی میدان الکتریکی پالسی جهت فرآوری محصولات اسیدی و تخریب آنزیم به عنوان یک رویکرد امیدوارکننده به علت حفظ خواص کیفی از جمله اسید آسکوربیک و ترکیبات فنلی محصول در مقایسه با فرایندهای حرارتی رایج محسوب می‌شود.

۵- منابع

- [1] Suntornsuk, L., W. Gritsanapun, S. Nilkamhank and A. Paochom. 2002. "Quantitation of vitamin C content in herbal juice using direct titration." Journal of pharmaceutical and Biomedical Analysis 28(5): 849-855.
- [2] Balla, C. and J. Farkas. 2006. "Minimally processed fruits and fruit products and their microbiological safety." Handbook of fruits and fruit processing: 115.
- [3] Aronsson, K. and U. Rönner. 2001. "Influence of pH, water activity and temperature on the inactivation of Escherichia coli and Saccharomyces cerevisiae by pulsed electric fields." Innovative Food Science & Emerging Technologies 2(2): 105-112.

تأثیر معناداری بر بوی و ترشی نمونه نداشت که نشان از حفظ ترکیبات آروماتیک لیمو از جمله ترپین‌ها، هیدروکربن‌ها، کتون‌ها و آلدهیدها در حین فرآوری با PEF می‌باشد ($p > 0.05$). طعم نمونه‌های فرآوری شده با PEF در شدت‌های مختلف میدان الکتریکی پالسی و زمان فرآیند در مقایسه با نمونه شاهد تأثیر معنی‌داری از لحاظ آماری نداشت ($p > 0.05$). در مدت‌زمان نگهداری نمونه‌های فرآوری شده با PEF طعم تلخی در نمونه‌ها گزارش نشد که به علت تخریب آنزیم‌های ایجادکننده طعم تلخی در این محصول طی فرآوری با PEF می‌باشد. به‌طورکلی پذیرش کلی محصول فرآوری شده با PEF در مقایسه با نمونه شاهد در مدت‌زمان نگهداری ۹۰ روز قابل قبول بود. این نتایج با ترکمنی و همکاران (۲۰۱۱) مطابقت دارد. به‌طورکلی ویژگی‌های حسی و بصری نمونه فرآوری شده با PEF بسیار مشابه نمونه تازه بود [۵۹].

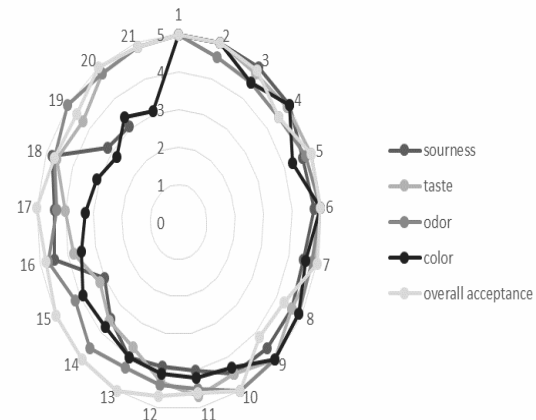


Fig 10 The effect of pulsed electric field and time on sensory evaluation in PEF process

۶- نتیجه‌گیری

در سال‌های اخیر تقاضا برای محصولات غذایی طبیعی باکیفیت مناسب و محصولات غذایی با حداقل فرآوری و بالرزش تغذیه‌ای بالا افزایش یافته است. میدان‌های الکتریکی پالسی یک تکنولوژی نگهداری غیرحرارتی می‌باشد که به دلیل جلوگیری از تغییرات نامطلوب در صنایع غذایی مورد توجه قرار گرفته است. از جمله مواد غذایی که حفظ ویژگی‌های ارگانولیپتیک در آن بسیار حائز اهمیت است. به دلیل کوتاه بودن زمان پالس‌ها،

- [14] Krishnamurthy, K., Jun, S., Irudayaraj, J. and Demirci, A. 2008. Efficacy of infrared heat treatment for inactivation of *staphylococcus aureus* in milk. *Journal of Food process engineering*, 31(6): 798-816.
- [15] Versteeg, C., Rombouts, F., Spaansen, C., & Pilnik, W. 1980. Thermostability and orange juice cloud destabilizing properties of multiple pectinesterases from orange. *Journal of Food Science*, 45(4), 969-971.
- [16] Lubinska-Szczygiel, M., Różańska, A., Namieśnik, J., Dymerski, T., Shafreen, R.B., Weisz, M., Ezra, A. and Gorinstein, S., 2018. Quality of limes juices based on the aroma and antioxidant properties. *Food Control*, 89, pp.270-279.
- [17] Hojjatpanah, G., Fazaeli, M., Emam-Djomeh, Z. 2011. Effects of heating method and conditions on the quality attributes of black mulberry (*Morus nigra*) juice concentrate. *International Journal Food Science. Technologies.*, 46(5), 956-962
- [18] Hodgins AM, Mittal GS, Griffiths MW. 2002. Pasteurization of fresh orange juice using low-energy pulsed electrical field. *Journal Food Science*. 67:2294–9.
- [19] Yeom, H.W., Zhang, Q.H. and Chism, G.W., 2002. Inactivation of pectin methyl esterase in orange juice by pulsed electric fields. *Journal of Food Science*, 67(6), pp.2154-2159.
- [20] Agcam, E., Akyıldız, A. and Evrendilek, G.A., 2014. Comparison of phenolic compounds of orange juice processed by pulsed electric fields (PEF) and conventional thermal pasteurisation. *Food Chemistry*, 143, pp.354-361.
- [21] Terefe, N. S., Buckow, R., & Versteeg, C. 2015. Quality-related enzymes in plant-based products: Effects of novel food processing technologies, part 2: Pulsed electric field processing. *Critical Reviews in Food Science and Nutrition*, 55, 1–15.
- [22] Giner, J., Gimeno, V., Espachs, A., Elez, P., Barbosa-Cánovas, G. V., & Martín, O. 2000. Inhibition of tomato (*Licopersicon esculentum* Mill.) pectin methylesterase by pulsed electric fields. *Innovative Food Science & Emerging Technologies*, 1(1), 57-67.
- [23] Elez-Martínez P, Martín-Belloso O. 2007. Effects of high intensity pulsed electric field processing conditions on vitamin C and antioxidant capacity of orange juice and
- [4] Raso, J., M. L. Calderón, M. Góngora, G. V. Barbosa-Cánovas and B. G. Swanson. 1998. "Inactivation of *Zygosaccharomyces bailii* in fruit juices by heat, high hydrostatic pressure and pulsed electric fields." *Journal of food science* 63(6): 1042-1044.
- [5] Álvarez, I., S. Condón and J. Raso. 2006. Microbial inactivation by pulsed electric fields. *Pulsed electric fields technology for the food industry*, Springer: 97-129.
- [6] Yeom HW, Zhang QH, Dunne CP. 1999. Inactivation of papain by pulsed electric fields in a continuous system. *Food Chem* 67:53-59.
- [7] Terefe NS, Buckow R, Versteeg C. 2013. Quality related enzymes in plant based products: effects of novel food processing technologies. Part 2: pulsed electric field processing. *Crit Rev Food Science Nutrition*.
- [8] Meneses N, Jaeger H, Knorr D. 2011. pH-changes during pulsed electric field treatments—numerical simulation and in situ impact on polyphenoloxidase inactivation. *Innovative Food Science Emerging Technology* 12:499–504.
- [9] Yeom HW, Streaker CB, Zhang QH, Min DB. 2000. Effects of pulsed electric fields on the quality of orange juice and comparison with heat pasteurization. *Journal Agriculture Food Chemistry*. 48(10):4597-4605.
- [10] Wibowo, S., Essel, E.A., De Man, S., Bernaert, N., Van Droogenbroeck, B., Grauwet, T., Van Loey, A. and Hendrickx, M., 2019. Comparing the impact of high pressure, pulsed electric field and thermal pasteurization on quality attributes of cloudy apple juice using targeted and untargeted analyses. *Innovative Food science & emerging technologies*, 54, pp.64-77.
- [11] Kumar, R., Bawa, A.S., Kathiravan, T. and Nadanasabapathi, S., 2015. Optimization of pulsed electric field parameters for mango nectar processing using response surface methodology. *International Food Research Journal*, 22(4), p.1353.
- [12] Sánchez-Vega R, Elez-Martínez P, Martín-Belloso O. 2015. Influence of high-intensity pulsed electric field processing parameters on antioxidant compounds of broccoli juice. *Innovative Food Science Emerging Technology*. 29:70–7.
- [13] Kimball, D. A. 1991. *Citrus processing quality control and technology*. New York: Van Nostrand Reinhold. 117-243.

- [33] Elez-Martínez, P., Escola-Hernández, J., Soliva-Fortuny, R. C., & Martínez-Belloso, O. 2004. Inactivation of *Saccharomyces cerevisiae* suspended in orange juice using high-intensity pulsed electric fields. *Journal of Food Protection*, 67, 2596–2602.
- [34] Sañchez-Moreno, C., Plaza, L., Elez-Martínez, P., De Ancos, B., Martínez-Belloso, O., & Cano, M. P. 2005. Impact of high-pressure and pulsed electric fields on bioactive compounds and antioxidant activity of orange juice in comparison with traditional thermal processing. *Journal of Agricultural and Food Chemistry*, 53, 4403–4409.
- [35] Tannebaum, S. R., Archer, M. C., & Young, V. R. 1985. Vitamins and minerals. In O. R. Fennema (Ed.), *Food chemistry* (2nd ed., pp. 488–493). New York: Marcel Dekker Inc.
- [36] Davey, M. W., Van Montagu, M., Inze, D., Sanmartin, M., Kanellis, A., Smirnoff, N., et al. 2000. Plant L-ascorbic acid: chemistry, function, metabolism, bioavailability and effects of processing. *Journal of the Science of Food and Agriculture*, 80, 825–860.
- [37] Walkling-Ribeiro M, Noci F, Cronin DA, Lyng JG, Morgan DJ. 2009. Shelf life and sensory evaluation of orange juice after exposure to thermosonication and pulsed electric fields. *Food Bio product Process* 87:102–7.
- [38] Zhang, Z.H., Zeng, X.A., Brennan, C.S., Brennan, M., Han, Z. and Xiong, X.Y., 2015. Effects of pulsed electric fields (PEF) on vitamin C and its antioxidant properties. *International journal of molecular sciences*, 16(10), pp.24159-24173.
- [39] Beveridge, T., & Wrolstad, R. E. 1997. Haze and cloud in apple juices. *Critical Reviews in Food Science and Nutrition*, 37, 75–91.
- [40] Croak, S., & Corredig, M. 2006. The role of pectin in orange juice stabilization: Effect of pectin methylesterase and pectinase activity on the size of cloud particles. *Food Hydrocolloids*, 20, 961–965.
- [41] Riener, J., Noci, F., Cronin, D.A., Morgan, D.J. and Lyng, J.G. 2009. Combined effect of temperature and pulsed electric fields on pectin methyl esterase inactivation in red grapefruit juice (*Citrus paradisi*). *European Food Research Technologies*. 228, 373–379.
- [42] Cserhalmi, Z., Sass-kiss, A., Toth-markus, M. and Lechner, N. 2006. Study of pulsed gazpacho, a cold vegetable soup. *Food Chemistry* 102:201–9.
- [24] Rodrigo D, Barbosa-Canovas GV, Martinez A, Rodrigo M. 2003. Pectin methylesterase and natural microflora of fresh and mixed orange and carrot juice treated with pulsed electric fields. *Journal Food Protect* 66:2336–42.
- [25] Espachs-Barroso A, Van Loey A, Hendrickx M, Martín-Belloso O. 2006. Inactivation of plant pectin methylesterase by thermal or high intensity pulsed electric field treatments. *Innovative Food Science Emerging Technology*. 7:40–8.
- [26] Van Loey, A., Verachtert, B., & Hendrickx, M. 2001. Effects of high electric field pulses on enzymes. *Trends in Food Science & Technology*, 12(3-4), 94-102.
- [27] Krapfenbauer, G., Kinner, M., Gossinger, M., Schonlechner, R., & Berghofer, E. 2006. Effect of thermal treatment on the quality of cloudy apple juice. *Journal of Agricultural and Food Chemistry*, 54, 5453–5460.
- [28] Schilling S, Schmid S, Jaeger H, Ludwig M, Dietrich H, Toepfl S, Knorr D, Neidhart S, Schieber A, Carle R. 2008. Comparative study of pulsed electric field and thermal processing of apple juice with particular consideration of juice quality and enzyme deactivation. *Journal Agriculture Food Chemistry*. 56:4545–54.
- [29] Oms-Oliu, G., Odriozola-Serrano, I., Soliva-fortuny, R. and O. Martínez-Belloso, 2009. Effects of high-intensity pulsed electric field processing conditions on lycopene, vitamin C and antioxidant capacity of watermelon juice. *Food Chem.* 115, 1312–1319.
- [30] Evrendilek, G. A., Jin, Z. T., Ruhlman, K. T., Qiu, X., Zhang, Q. H., & Richter, E. R. 2000. Microbial safety and shelf-life of apple juice and cider processed by bench and pilot scale PEF systems. *Innovative Food Science and Emerging Technologies*, 1, 77–86.
- [31] Min, S., Jin, Z. T., Min, S. K., Yeom, H., & Zhang, Q. H. 2003. Commercial-scale pulsed electric field processing of orange juice. *Journal of Food Science*, 68, 1265–1271.
- [32] Rivas A, Rodrigo D, Company B, Sampedro F, Rodrigo M. 2007. Effects of pulsed electric fields on water-soluble vitamins and ACE inhibitory peptides added to a mixed orange juice and milk beverage. *Food Chemistry* 104: 1550–9.

- [51] Aguiló-Aguayo, I., Odriozola-Serrano, I., Quintão-Teixeira, L.J. and Martin-Beloso, O., 2008. Inactivation of tomato juice peroxidase by high-intensity pulsed electric fields as affected by process conditions. *Food Chemistry*, 107(2), pp.949-955.
- [52] Bi, X., Liu, F., Rao, L., Li, J., Liu, B., Liao, X. 2013. Effects of electric field strength and pulse rise time on physicochemical and sensory properties of apple juice by pulsed electric field. *Innovative Food Science & Emerging Technologies*, 17, 85–92.
- [53] Ohshima, T., Tamura, T., & Sato, M. 2007. Influence of pulsed electric field on various enzyme activities. *Journal of Electrostatics*, 65(3), 156–161.
- [54] Taiwo, K.A., Angersbach, A., & Knorr, D. 2002. Rehydration studies on pretreated and osmotically dehydrated apple slices. *Journal of Food Science*, 67(2), 842–847.
- [55] Janositz, A., Noack, A.K., & Knorr, D. 2011. Pulsed electric fields and their impact on the diffusion characteristics of potato slices. *LWT — Food Science and Technology*, 44(9), 1939–1945.
- [56] Zhang, Q.H., Barbosa-Canovas, G.V. and Swanson, B.G. 1995. Engineering aspects of pulsed electric field pasteurization. *Journal. Food Engineering*. 25, 261–281.
- [57] Guo, M., Jin, T.Z., Geveke, D.J., Fan, X., Sites, J.E. and Wang, L. 2014. Evaluation of microbial stability, bioactive compounds, physicochemical properties, and consumer acceptance of pomegranate juice processed in a commercial scale pulsed electric field system. *Food Bioprocess. Technological*. 7, 2112–2120.
- [58] Aguilar-Rosas, S.F., Ballinas-Casarrubias, M.L., Nevarez-Moorillon, G.V., Martin-Beloso, O. and Ortega-Rivas, E. 2007. Thermal and pulsed electric fields pasteurization of apple juice: Effects on physicochemical properties and flavour compounds. *Journal. Food Engineering*. 83, 41–46.
- [59] Torkamani, A.E. 2011. Impact of pulsed electric fields and thermal processing on apple juice shelf life. *Iran Journal. Microbiological*. 3, 152–155.
- electric field treated citrus juices. *Innovative Food Science. Emerging Technol*. 7, 49–54.
- [43] Elez-Martinez, P., Soliva-Fortuny, R. and Martin-Beloso, O. 2006. Comparative study on shelf life of orange juice processed by high intensity pulsed electric field or heat treatment. *European. Food Research. Technologies*. 222, 321–329.
- [44] Cortés, C., Esteve, M. J., & FR Igola, A. 2008. Color of orange juice treated by high intensity pulsed electric fields during refrigerated storage and comparison with pasteurized juice. *Food Control*, 19, 151–158.
- [45] Patras, A., Brunton, N.P., o'donnell, C. and Tiwari, B.K. 2010. Effect of thermal processing on anthocyanin stability in foods; mechanisms and kinetics of degradation. *Trends Food Sci. Technol*. 21, 3–11.
- [46] Alighourchi, H. and Barzegar, M. 2009. Some physicochemical characteristics and degradation kinetic of anthocyanin of reconstituted pomegranate juice during storage. *Journal. Food Engineering*. 90, 179–185.
- [47] Evrendilek, G. A. Change Regime of Aroma Active Compounds in Response to Pulsed Electric Field Treatment Time, Sour Cherry Juice Apricot and Peach Nectars, and Physical and Sensory Properties. *Innovative. Food Science. Emerging. Technologies*. 2016, 33, 195–205.
- [48] Altuntaş, J.; Akdemir Evrendilek, G.; Sangun, M. K.; Zhang, H. Q. Processing of Peach Nectar by Pulsed Electric Fields with respect to Physical and Chemical Properties and Microbial Inactivation. *Journal. Food Process Engineering*. 2011, 34, 1506–1522.
- [49] Lasekan, O., Ng, S., Azeez, S., Shittu, R., Teoh, L. and Gholianand, S., 2017. Effect of pulsed electric field processing on flavor and color of liquid foods. *Journal of Food Processing and Preservation*, 41(3), p.e12940.
- [50] Wiktor, A., Sledz, M., Nowacka, M., Rybak, K., Chudoba, T., Lojkowski, W. and Witrowa-Rajchert, D., 2015. The impact of pulsed electric field treatment on selected bioactive compound content and color of plant tissue. *Innovative Food Science & Emerging Technologies*, 30, pp.69–78.



Design and manufacturing of key lime juice processing system by pulsed electric field and evaluation of its quality characteristics

Dezyani, A. 1*, Ziaifar, A. M. 2*, Jafari, S. M. 3, Aghajanzadeh, S. 4

1. PhD student, Food Science and Technology Engineering Department, Gorgan University of Agricultural Sciences and Natural Resources, Gorgan, Iran.
2. PhD, Associate Professor, Food Science and Technology Engineering Department, Gorgan University of Agricultural Sciences and Natural Resources, Gorgan, Gorgan, Iran.
3. PhD, Professor, Food Science and Technology Engineering Department, Gorgan University of Agricultural Sciences and Natural Resources, Gorgan, Iran.
4. PhD, Food Science and Technology Engineering Department, Gorgan University of Agricultural Sciences and Natural Resources, Gorgan, Iran.

ARTICLE INFO

ABSTRACT

Article History:

Received 2021/10/19
Accepted 2021/12/06

Keywords:

Key lime juice,
Pulse electric field,
PME enzyme,
Ascorbic acid,
Cloudy index.

DOI: 10.22034/FSCT.19.132.33
DOR: 20.1001.1.20088787.1401.19.132.3.6

*Corresponding Author E-Mail:
ziaifar@gmail.com

Key lime juice can be a non-fermenting product with high acidity and a rich source of ascorbic acid and phenol compound. In order to maintain the quality of the product, it is important to choose a suitable method for processing this food. The use of modern non-thermal methods to produce high quality products should be considered. In this research, by designing and constructing a continuous pulsed electric field (PEF) system, the effect of this method on the degradation of pectin methyl esterase (PME), ascorbic acid, total phenol compound, cloudiness index, color changes and sensory evaluation in key lime juice is discussed. In this research, a bipolar square wave of 10 microseconds and a constant frequency of 1000 is used. In the processing chamber of this device, two cases of stainless steel with length and thickness of 10 and 0.5 ml, respectively, were used. Key lime juice was processed for 500, 571, 666, 800 and 1000 microseconds with Field intensity of 22.22, 33.33, 44.44 and 55.55 kV per cm. In general, by increasing the field from 22.22 to 55.55 kV / cm at a constant time, the process of reducing the degradation of PME enzyme is normally increased by 25%. Applying the highest electric field of 55.55 in 1000 microseconds caused 14% ascorbic acid degradation compared to fresh samples. With increasing pulsed electric fields, the cloudy index of the sample and browning index have increased. The use of high intensity pulsed electric field increased the degradation of PME enzyme and the cloudy index and reduced lightness compared to the fresh sample. Preservation of sensory properties of key lime juice developed with PEF during shelf life showed that the non-thermal pulsed electric field method can act as a promising approach in products with high acidity and enzyme degradation.